

Zeitschrift: Bericht der Eidgenössischen Kommission zur Überwachung der Radioaktivität

Herausgeber: Eidgenössische Kommission zur Überwachung der Radioaktivität

Band: 30 (1987-1988)

Heft: 2: Figures & tableaux

Anhang: [Figures 4]

Nutzungsbedingungen

Die ETH-Bibliothek ist die Anbieterin der digitalisierten Zeitschriften auf E-Periodica. Sie besitzt keine Urheberrechte an den Zeitschriften und ist nicht verantwortlich für deren Inhalte. Die Rechte liegen in der Regel bei den Herausgebern beziehungsweise den externen Rechteinhabern. Das Veröffentlichen von Bildern in Print- und Online-Publikationen sowie auf Social Media-Kanälen oder Webseiten ist nur mit vorheriger Genehmigung der Rechteinhaber erlaubt. [Mehr erfahren](#)

Conditions d'utilisation

L'ETH Library est le fournisseur des revues numérisées. Elle ne détient aucun droit d'auteur sur les revues et n'est pas responsable de leur contenu. En règle générale, les droits sont détenus par les éditeurs ou les détenteurs de droits externes. La reproduction d'images dans des publications imprimées ou en ligne ainsi que sur des canaux de médias sociaux ou des sites web n'est autorisée qu'avec l'accord préalable des détenteurs des droits. [En savoir plus](#)

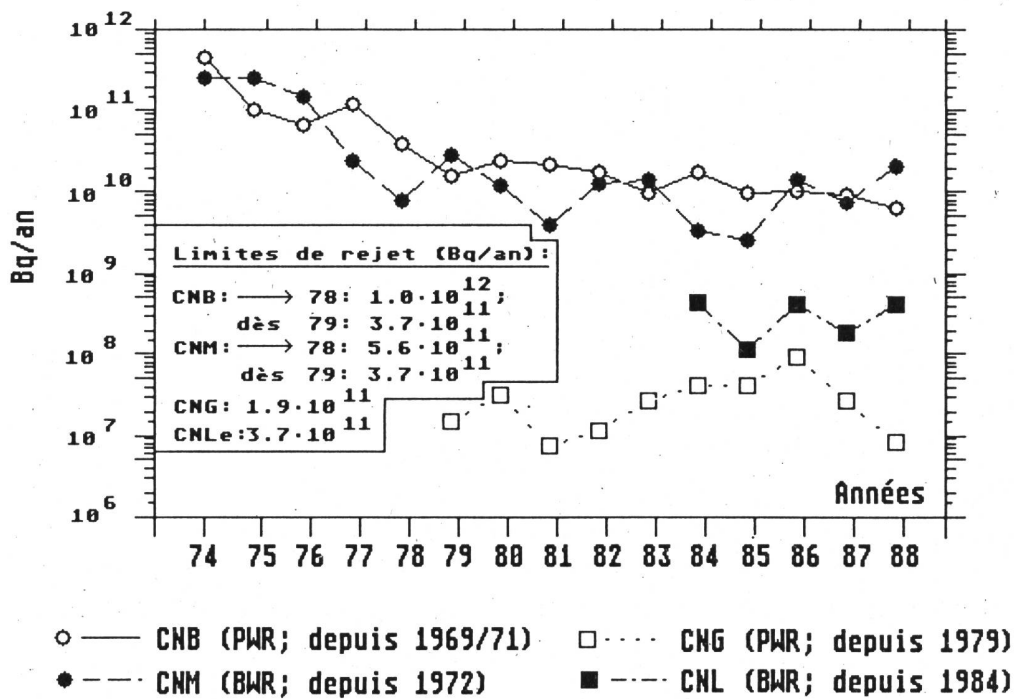
Terms of use

The ETH Library is the provider of the digitised journals. It does not own any copyrights to the journals and is not responsible for their content. The rights usually lie with the publishers or the external rights holders. Publishing images in print and online publications, as well as on social media channels or websites, is only permitted with the prior consent of the rights holders. [Find out more](#)

Download PDF: 12.01.2026

ETH-Bibliothek Zürich, E-Periodica, <https://www.e-periodica.ch>

**Fig.4.1: Rejets liquides des centrales nucléaires:
eaux résiduaires (sans le tritium) en Bq/an**



**Fig.4.2: Rejets liquides des centrales nucléaires:
eaux résiduaires : Tritium en Bq/l**

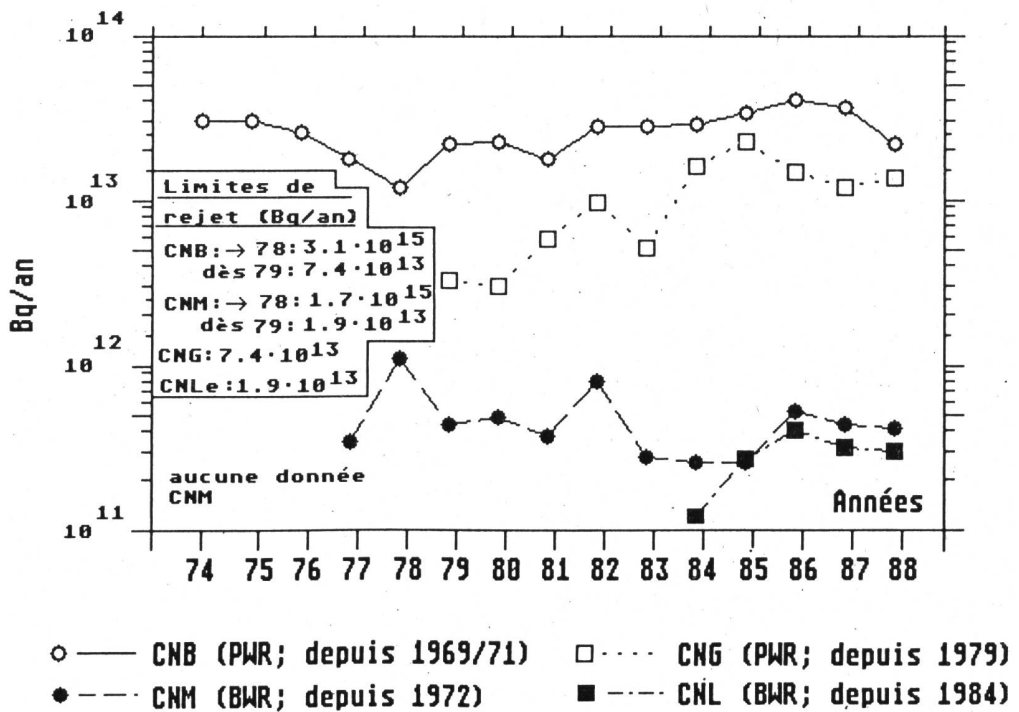


Fig.4.3 : Rejets gazeux des centrales nucléaires: Gaz d'échappement: Gaz rares en Bq/an (équivalent Xe-133)

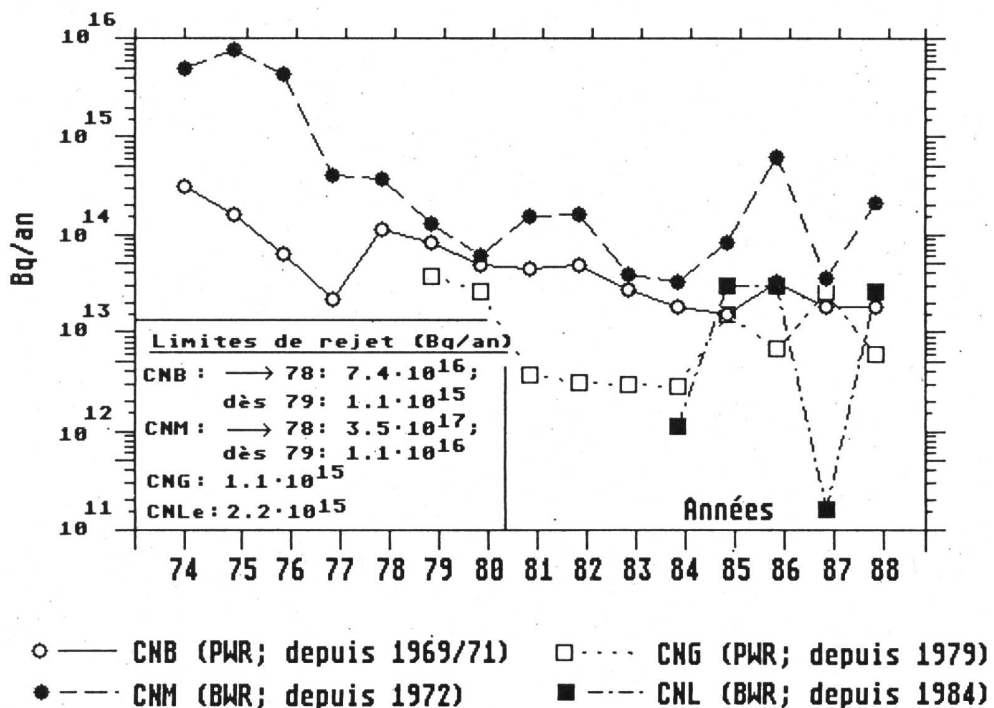


Fig.4.4 : Rejets gazeux des centrales nucléaires aérosols ($T_{1/2} > 8j$; sans iodé gazeux) en Bq/an

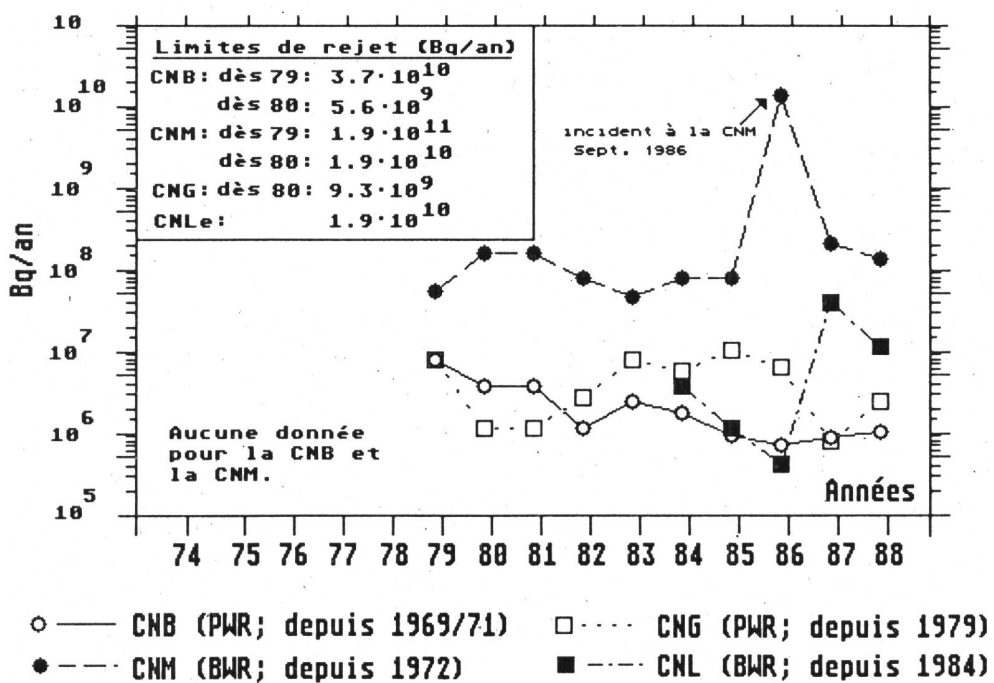


Fig.4.5 : Rejets gazeux des centrales nucléaires:
iode élémentaire en Bq/an

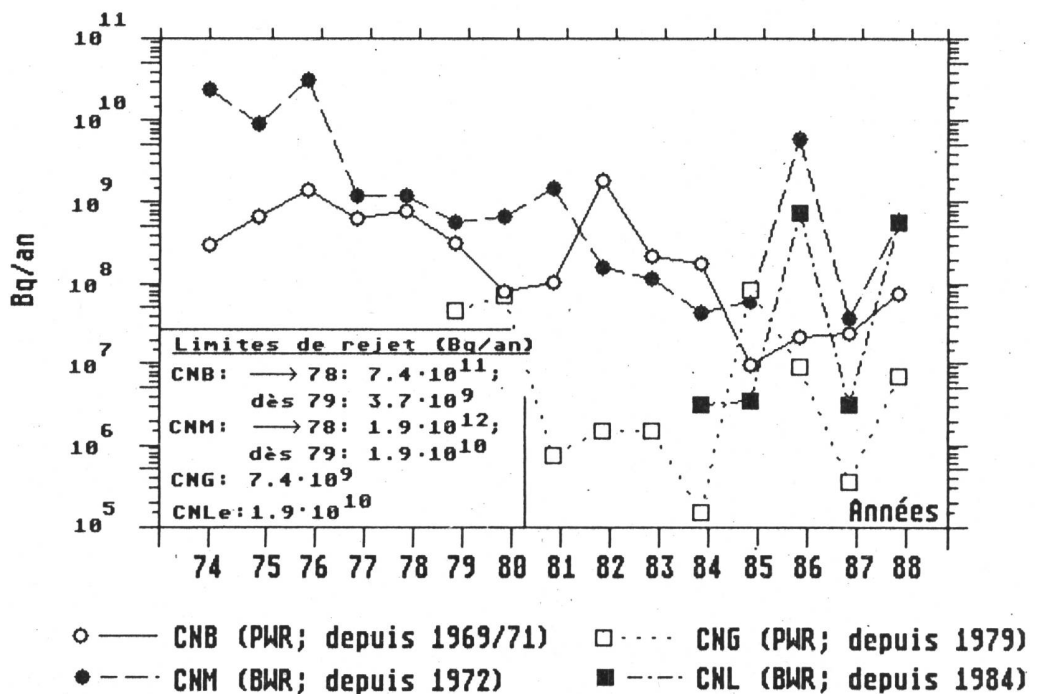


Fig.4.6 :
Doses maximales aux personnes en $\mu\text{Sv}/\text{an}$ dans le voisinage des CN

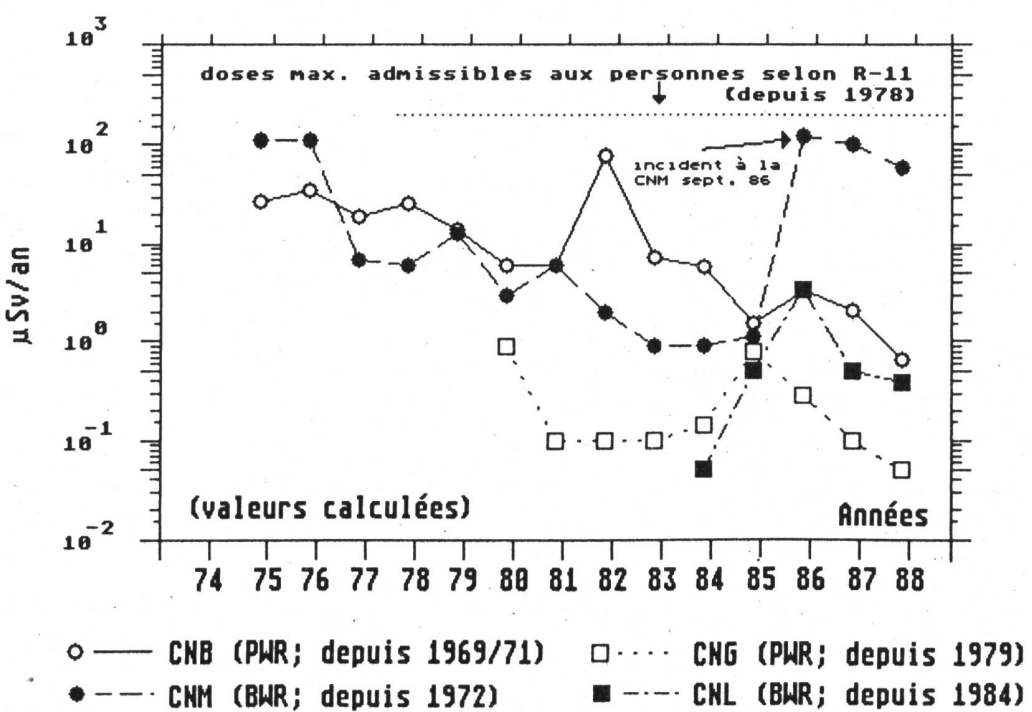


Fig. 4.7: Débit d'exposition externe mesuré à l'aide d'une chambre à ionisation UFEM HORN (VOISINAGE CNM)

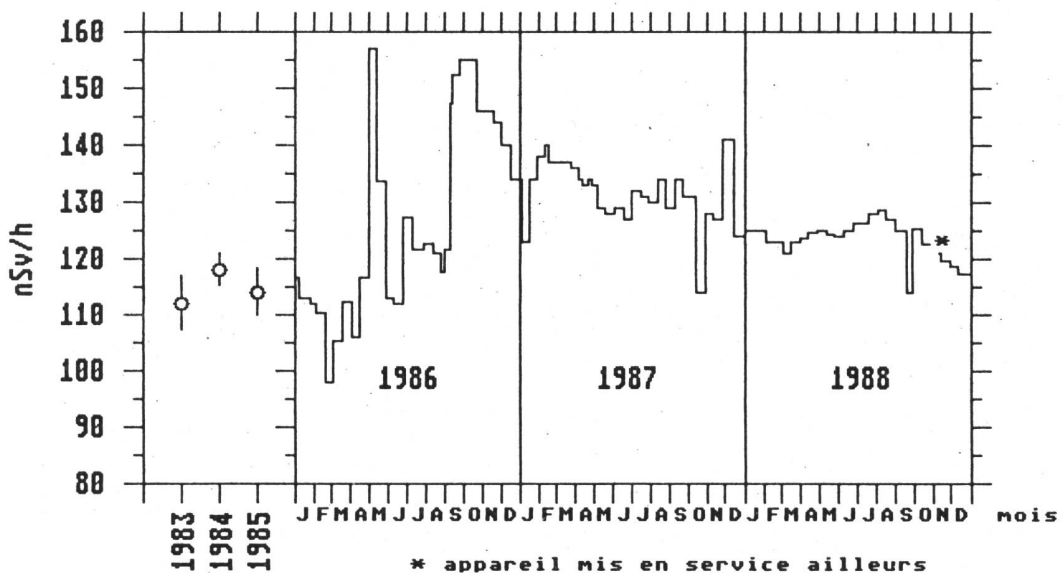


Fig. 4.8: Débit d'exposition externe mesuré à l'aide d'une chambre à ionisation NIEDERRUNTINGEN CNM-SCHALTZENTRALE (VOISINAGE CNM)

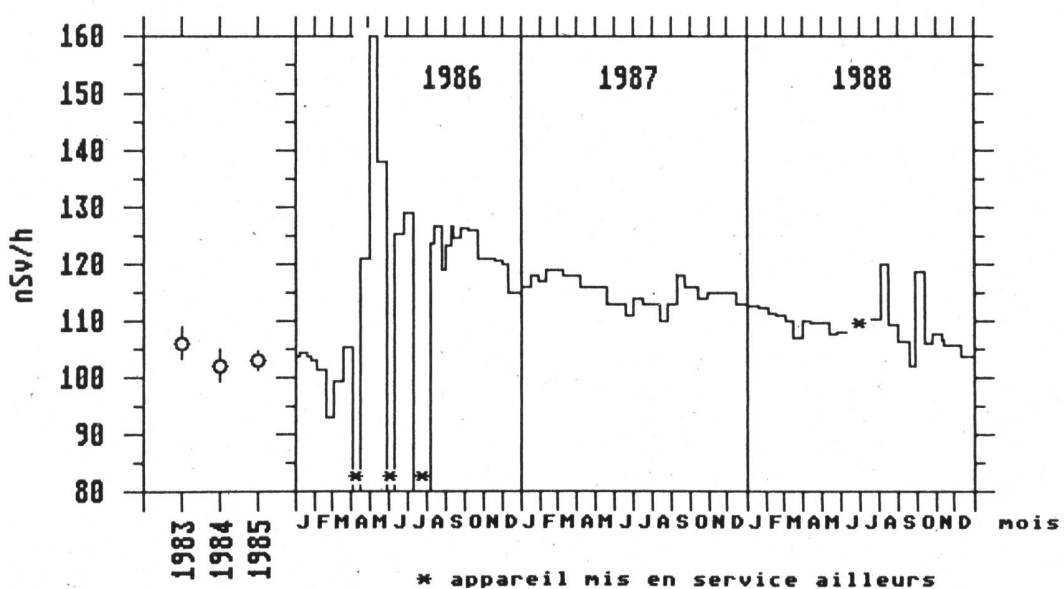


Fig.4.9: Débit d'exposition externe mesuré à l'aide d'une chambre à ionisation NIEDERGÖSGEN (VOISINAGE CNG)

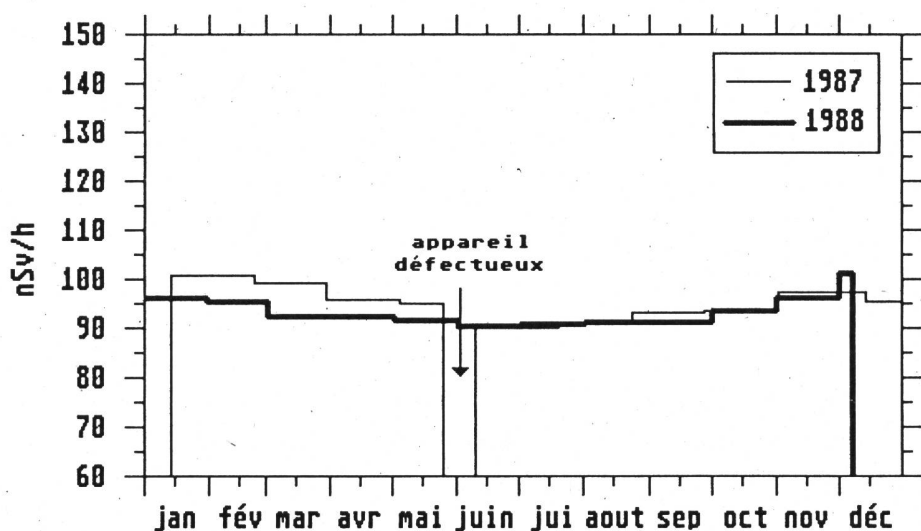
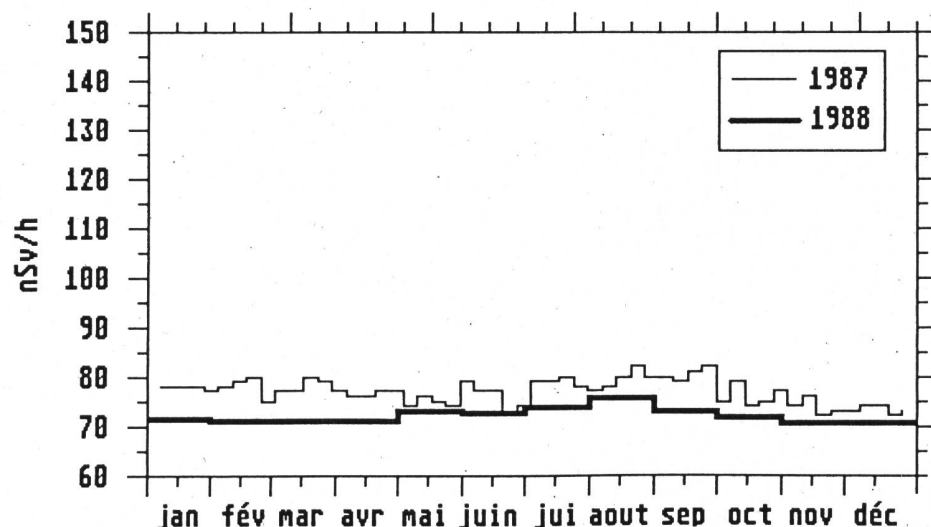


Fig.4.10: Débit d'exposition externe mesuré à l'aide d'un détecteur à scintillation à la centrale hydraulique de BEZNAU (Vois. CNB)



L'appareil indique une valeur trop basse de 30 nSv/h (offset) qui est déjà corrigée dans ce graphique.

Fig.4.11: Débit d'exposition externe mesuré à l'aide d'une chambre à ionisation à FULL PUMPWERK (Voisinage CNL)

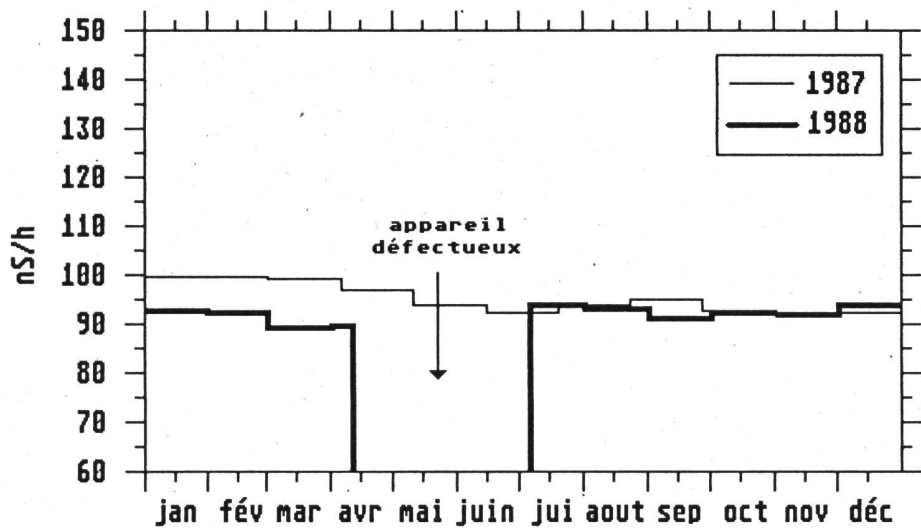
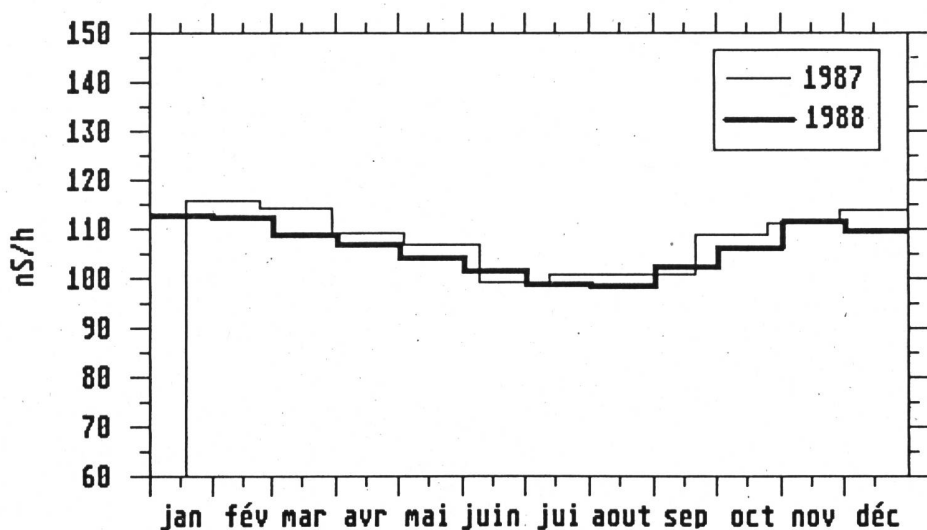


Fig.4.12: Débit d'exposition externe mesuré à l'aide d'une chambre à ionisation à LEIBSTADT CHLEMMI (Voisinage CNL)



**Fig.4.13: Débit de dose mesuré près de CNM le 18.05.88
(BKW-Schaltzentrale 800 m ENE de CNM)**

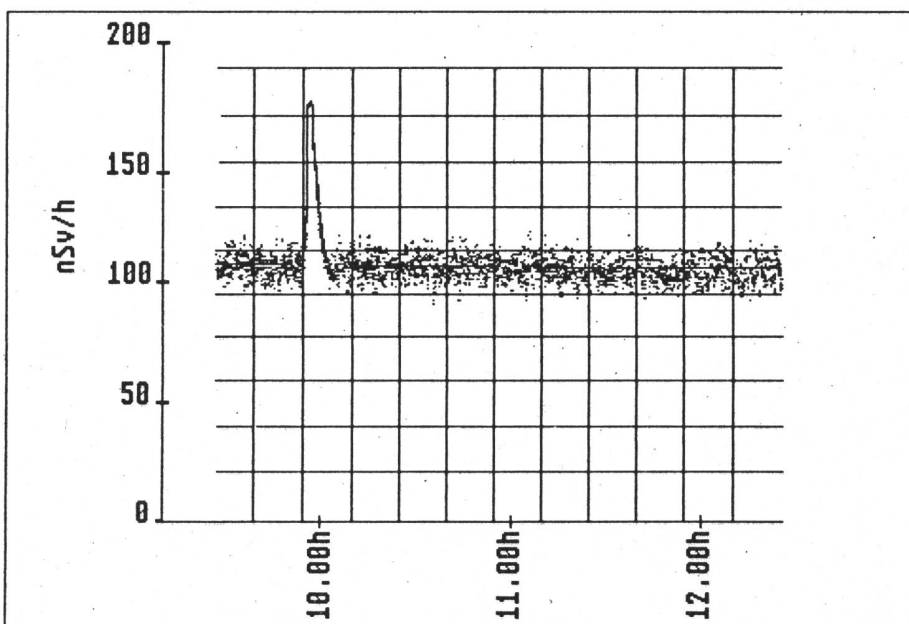


Fig.4.14: Mesures in situ près de la CN de Mühleberg ("Ufem Horn")
Contributions des différentes contaminations à l'activité
spécifique en surface et au débit d'exposition externe
(mesuré le 07.06.1988)

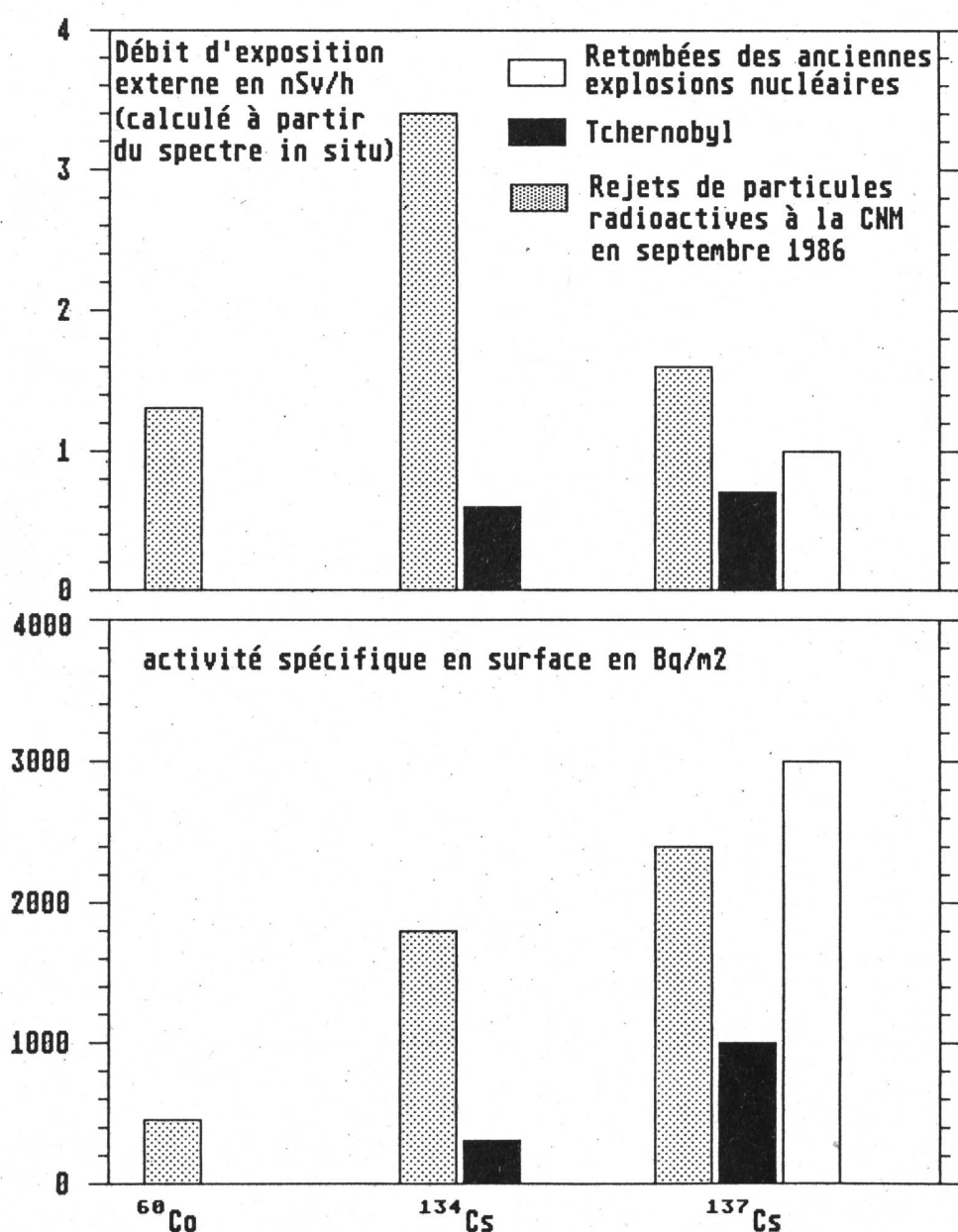


Fig.4.15: Activité bêta totale déposée sur les plaques de vaseline

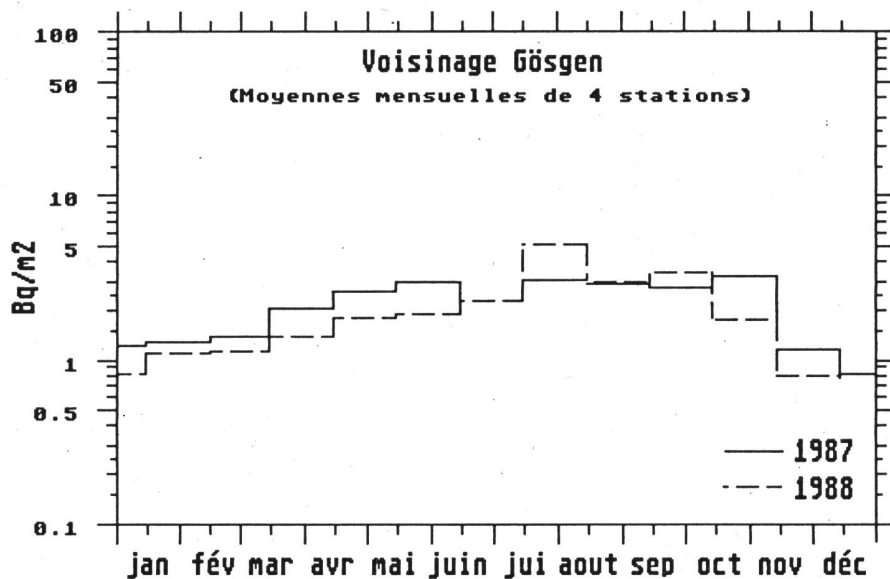


Fig.4.16: Activité bêta totale déposée sur les plaques de vaseline

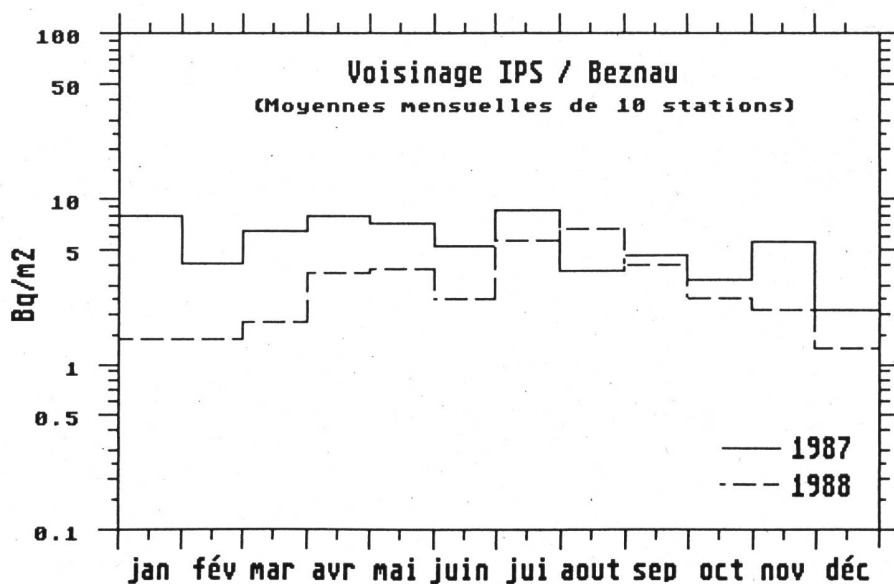


Fig.4.17: Activité bêta totale déposée sur les plaques de vaseline

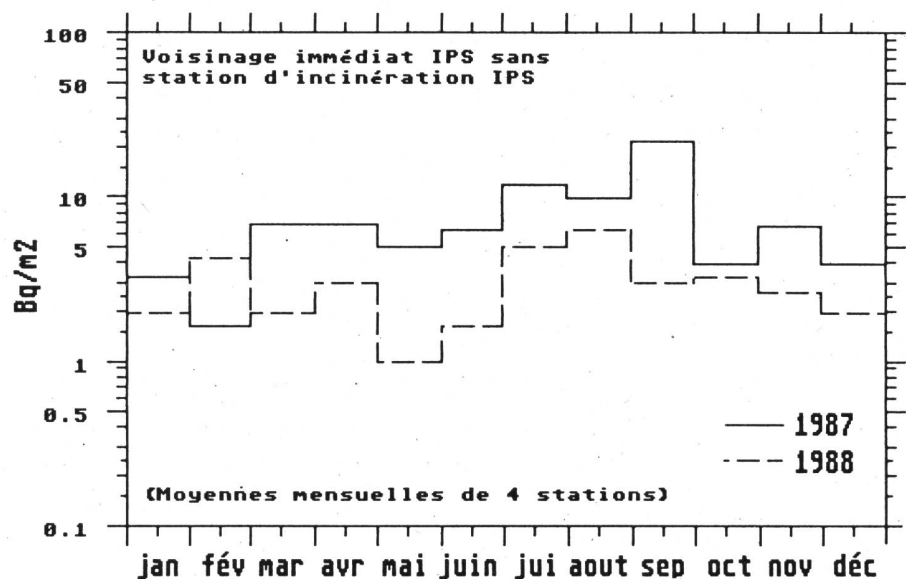


Fig.4.18: Activité bêta totale déposée sur les plaques de vaseline

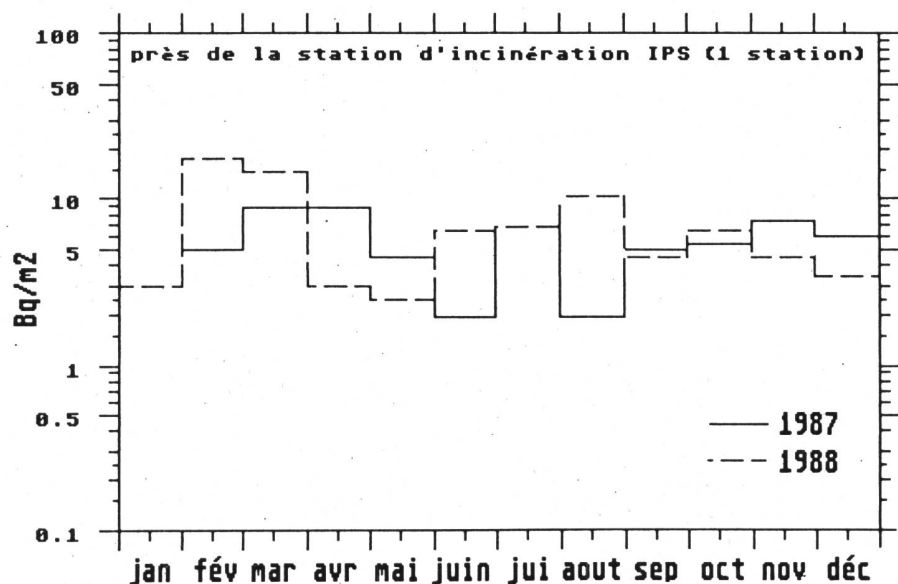


Fig.4.19: Activité bêta totale déposée sur les plaques de vaseline

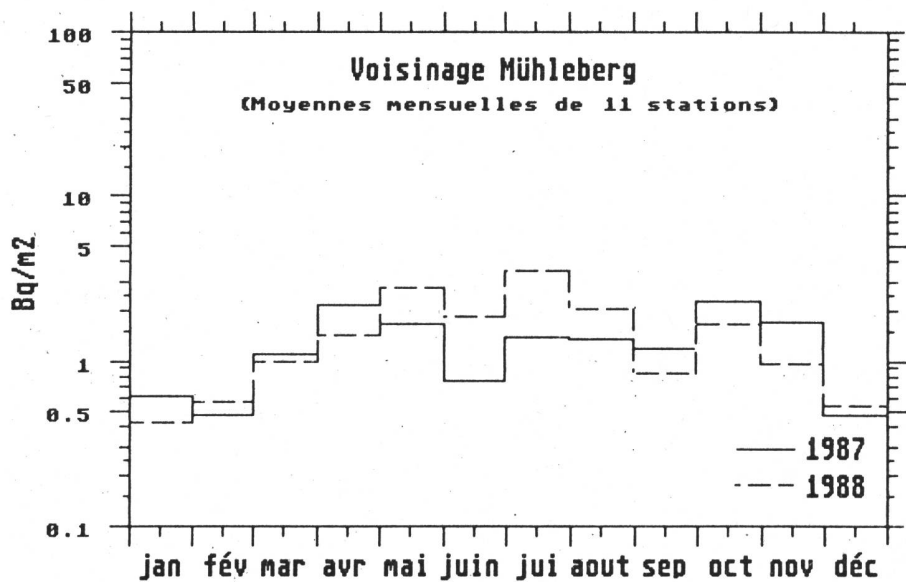


Fig.4.20: Activité bêta totale déposée sur les plaques de vaseline

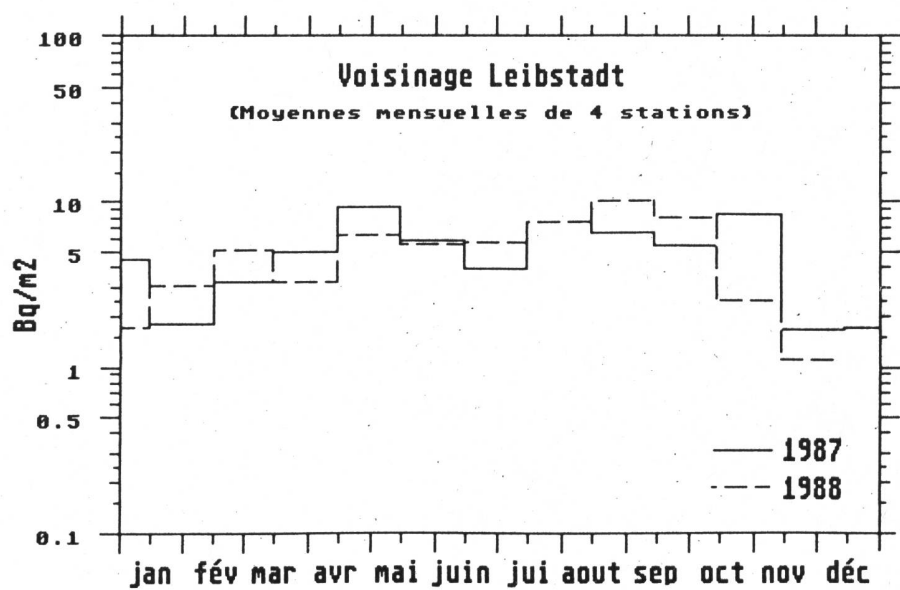


Fig.4.21: Activité bêta totale dans les nappes phréatiques au voisinage des centrales nucléaires

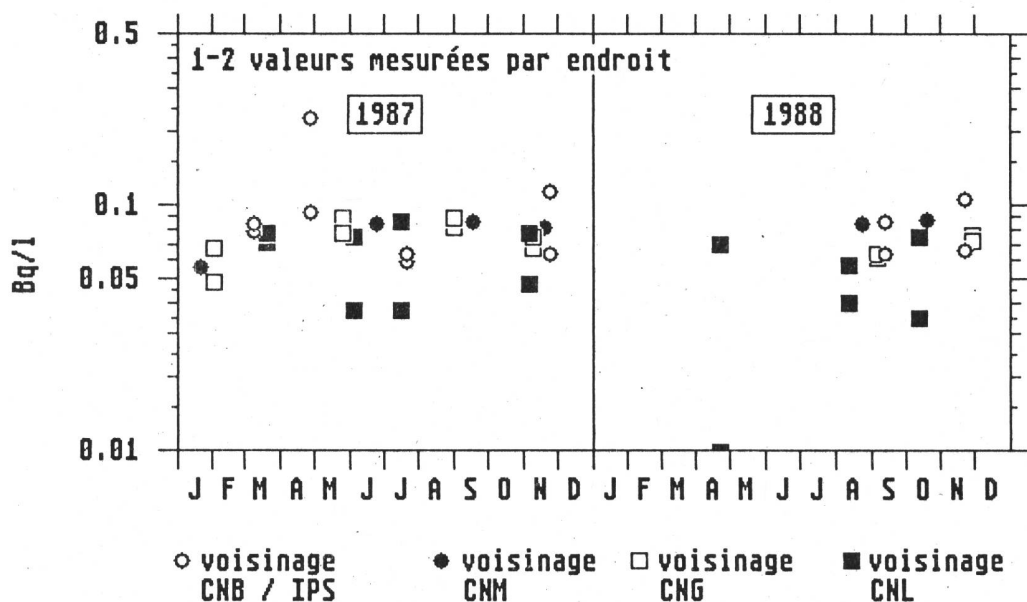


Fig.4.22: Tritium dans dans les nappes phréatiques au voisinage des centrales nucléaires

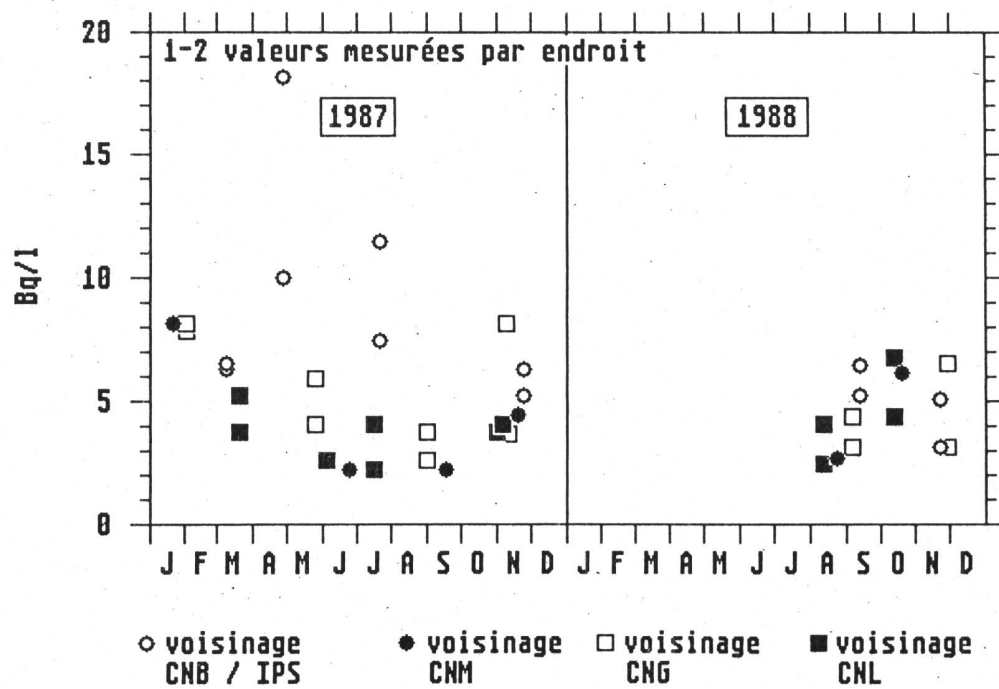


Fig.4.23: Bêta totale dans les matières en suspension
au voisinage des centrales nucléaires

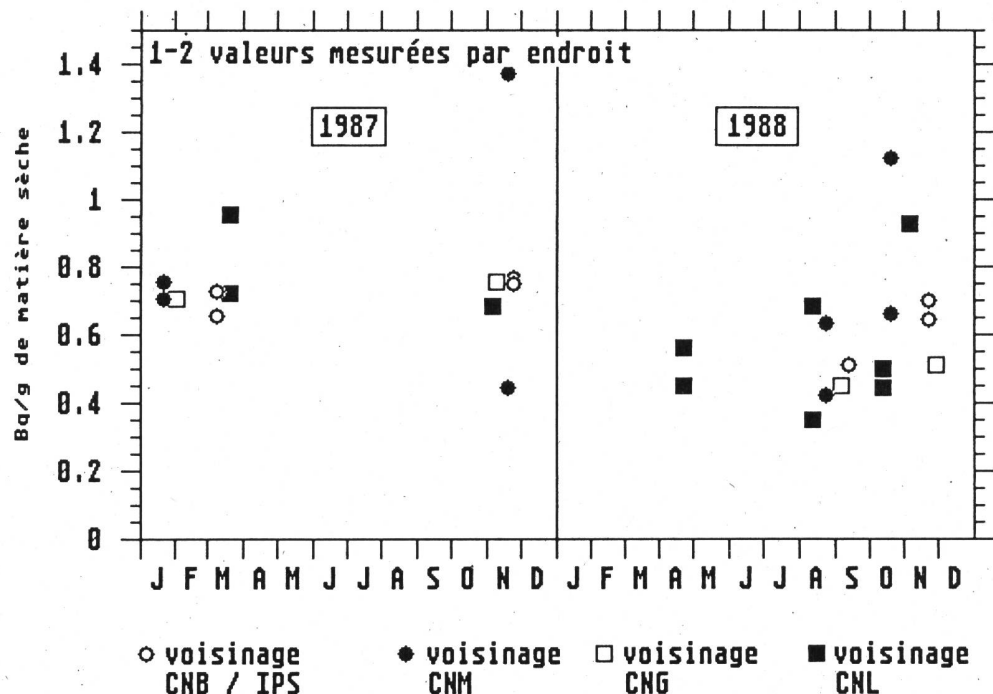


Fig.4.24: Bêta totale dans les eaux de rivières
au voisinage des centrales nucléaires

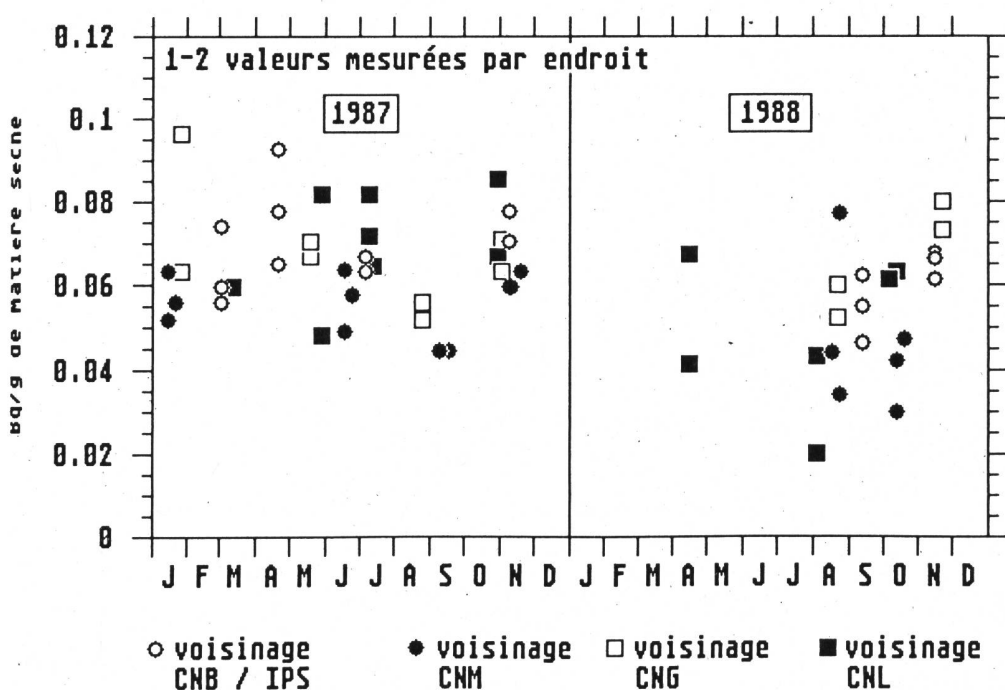


Fig.4.25: Sédiments au voisinage des centrales nucléaires

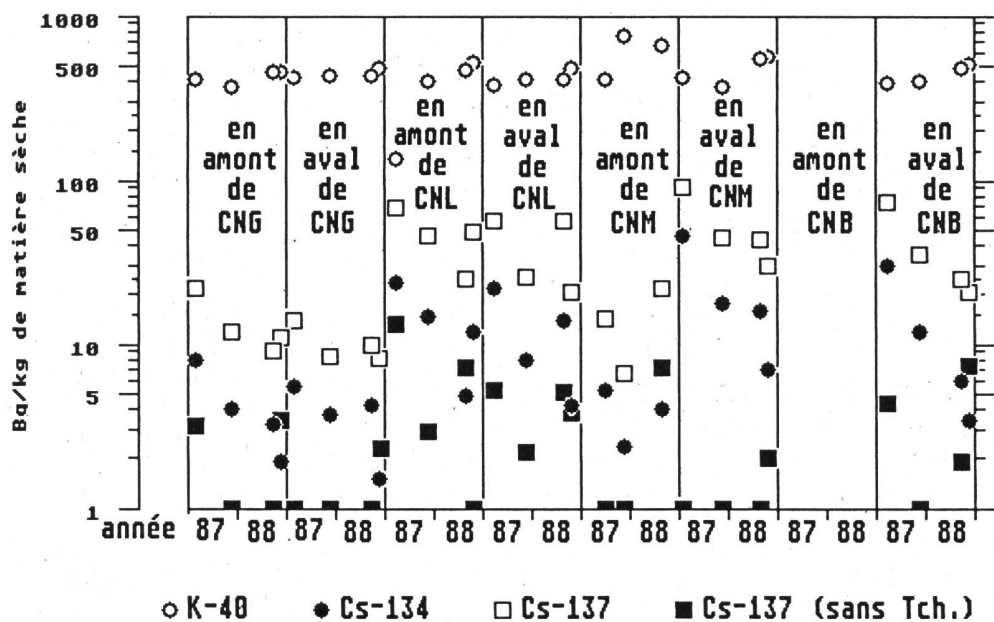


Fig.4.26.a: Concentration en C-14 dans le feuillage
(stations de référence)

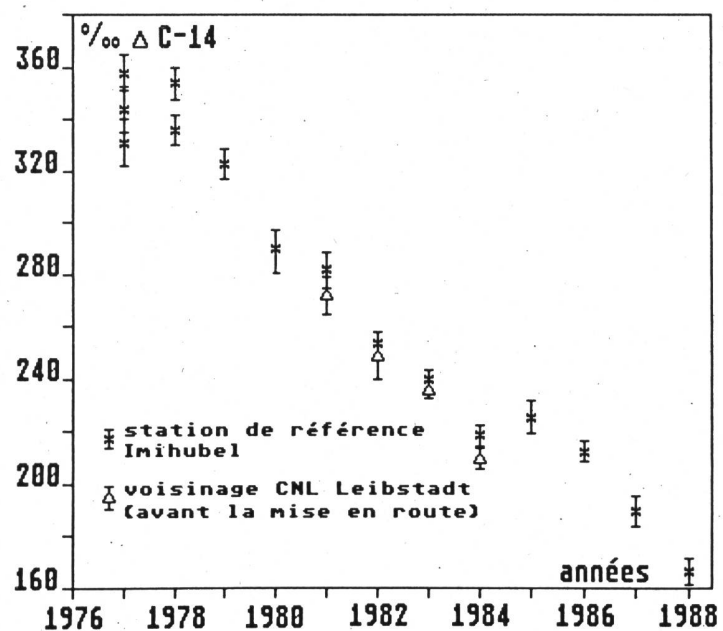


Fig. 4.26.b: C-14 dans le feuillage au voisinage de CNL
(net; relatif à la station de référence)

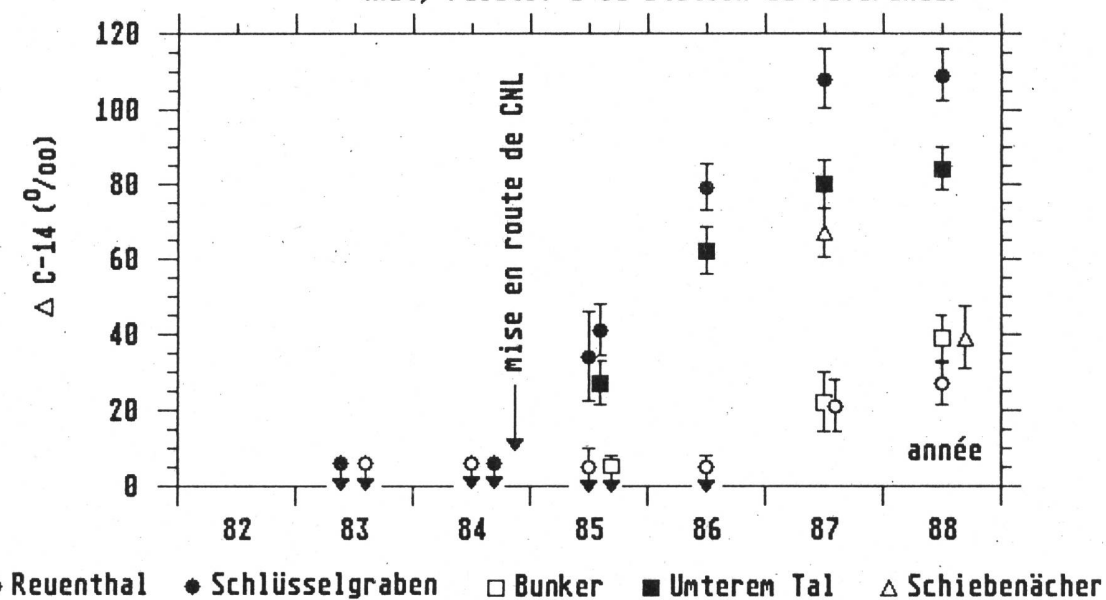


Fig. 4.26.c: Emplacement pour les mesures de C-14 dans le voisinage de CNL

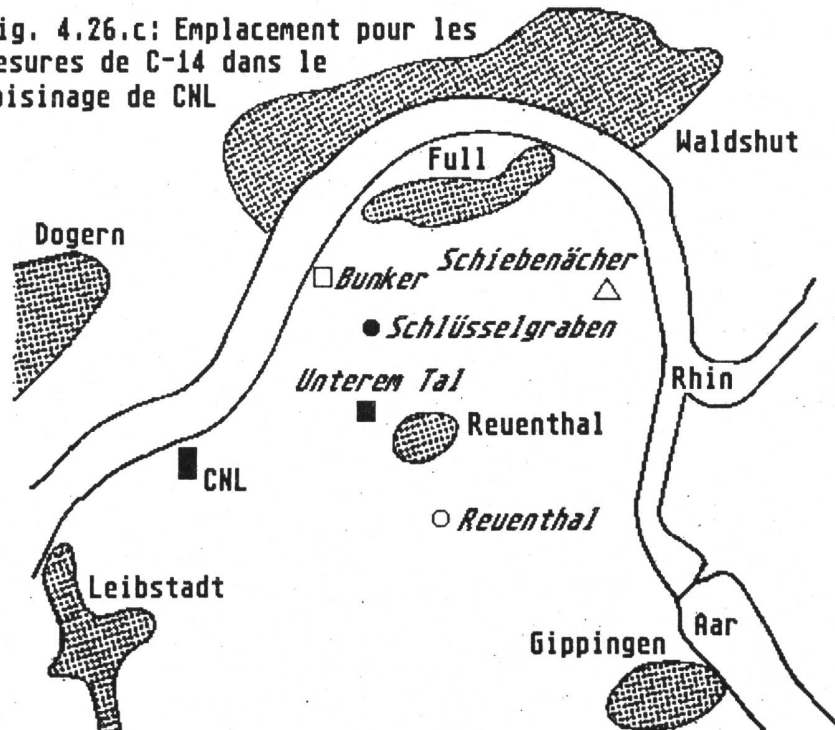


Fig.4.26,d: C-14 dans le feuillage au voisinage de Saphir (IPS)
(net; relatif à la station de référence)

